

01; 09; 10

**ЛИНЕЙНАЯ ТЕОРИЯ ЭФФЕКТА
КАНАЛИЗАЦИИ ИЗЛУЧЕНИЯ
ЛЕНТОЧНЫМ РЕЛЯТИВИСТСКИМ ЭЛЕКТРОННЫМ ПУЧКОМ
В ЛАЗЕРЕ НА СВОБОДНЫХ ЭЛЕКТРОНАХ**

Н. С. Гинзбург, А. С. Сергеев

В линейном приближении исследована канализация излучения релятивистским ленточным электронным пучком в ЛСЭ с плоским ондулятором. Рассмотрены режимы малого и большого пространственного заряда (комптоновский и рамановский режимы). Для этих режимов найдены собственные волны системы ленточный пучок электронов-осцилляторов — электромагнитное поле. Показано, что среди собственных волн существуют волны, нарастающие в продольном направлении, спадающие в поперечном и переносящие энергию излучения от пучка к периферии. В рамках параболического уравнения решена задача о дифракции плоской волны на слое электронов-осцилляторов. Показано, что асимптотическое поведение поля при больших длинах пространства взаимодействия определяется возбужденным нарастающей, канализируемой электронным пучком собственной волны.

Введение

В последнее время значительное внимание уделяется исследованию эффектов канализации электромагнитного излучения интенсивными электронными пучками в рабочем пространстве релятивистских высокочастотных приборов [1-18]. Использование таких эффектов привлекательно в силу ряда причин: а) селекция мод по поперечному индексу в приборах с пространственно развитыми электродинамическими системами, в частности возможность получения пространственно когерентного излучения на «горячих» модах, представляющих собой совокупность большого числа мод холодной электродинамической системы; б) увеличение инкрементов и снижение стартовых токов вследствие концентрации излучения в области электронного потока и уменьшения полного объема занятого электромагнитным полем; в) снижение опасности возникновения ВЧ пробоев из-за ослабления напряженности электромагнитного поля на боковых стенках электродинамической системы.

Настоящая работа посвящена линейной теории эффекта канализации излучения ленточным электронным пучком в ЛСЭ с плоским ондулятором. Рассмотрены случаи, когда электромагнитная волна взаимодействует непосредственно с электронами (комптоновский режим) и волнами пространственного заряда (рамановский режим).

Основные уравнения

Поле магнитного ондулятора (индекс u) и электромагнитной волны (индекс s) будем задавать вектор-потенциалами

$$A_u = \text{Re} [y_0 \hat{A}_u \text{ch } h_u x e^{i h_u z}], \quad (1)$$

$$A_s = \text{Re} [y_0 \hat{A}_s(z, x) e^{i(\omega_s t - h_s z)}], \quad (2)$$

где $h_u = 2\pi/d$, d — период ондулятора, $h_s = \omega_s/c$, $A_s(z, x)$ — медленно меняющаяся амплитуда сигнальной волны ТЕ-поляризации с отличными от нуля компонентами E_y , H_x и H_z электрических и магнитных полей. Допустим, что бесконечно тонкий ленточный релятивистский электронный пучок инжектируется в сечении $x=0$, поступательная скорость частиц направлена вдоль оси z (рис. 1).

В полях (1), (2) электроны будут осциллировать в поперечном направлении со скоростями

$$v_y^u = \text{Re} \left[\frac{e\hat{A}_u}{mc\gamma} e^{i h_u z} \right], \quad v_y^s = \text{Re} \left[\frac{e\hat{A}_s}{mc\gamma} e^{i(\omega_s t - h_s z)} \right], \quad (3)$$

где $\gamma = \mathcal{E}/mc^2$ — релятивистский масс-фактор, \mathcal{E} — энергия электронов.

При выполнении условия комбинационного синхронизма $\omega_s - h_s v_{||} = h_u v_{||}$ под действием усредненной ponderomotorной силы

$$F_z = \frac{e^2}{2\mathcal{E}} \text{Re} [i h_c \hat{A}_u \hat{A}_s e^{i(\omega_s t - h_s z)}] \quad (4)$$

будет развиваться продольная группировка электронного пучка, в результате чего его плотность окажется промодулированной с временной частотой ω_s и

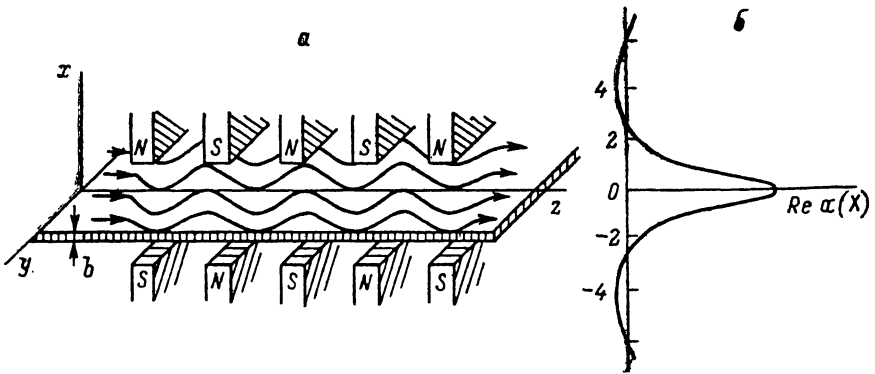


Рис. 1. Схема убитрона ЛСЭ с плоским ондулятором и ленточным электронным пучком (а) и поперечная структура канализируемой электронным пучком собственной моды (б).

волновым числом $h_c = h_s + h_u$. Модуляция пучка приведет к возбуждению дополнительного поля высокочастотного пространственного заряда (индекс b), которое имеет следующие компоненты:¹

$$E_{x,s}^b, H_y^b = \text{Re} [E_{x,s}^b(z, x), \hat{H}_y^b(z, x) e^{i(\omega_s t - h_c z)}]. \quad (5)$$

Линеаризованные уравнения движения частиц в полях (4), (5) могут быть представлены в виде

$$m\gamma_0^3 \left(\frac{\partial}{\partial t} + v_{||0} \frac{\partial}{\partial z} \right) v_x = \frac{e^2}{2mc^2\gamma_0} \text{Re} [i h_c \hat{A}_u \hat{A}_s e^{i(\omega_s t - h_c z)}] + e \text{Re} [E_x^b e^{i(\omega_s t - h_c z)}], \quad (6), (7)$$

$$\frac{\partial \sigma}{\partial t} + \frac{\partial j_x}{\partial z} = 0,$$

где σ и $j_x = c v_x$ — поверхностные плотности заряда и тока, индекс «0» здесь и далее соответствует начальным невозмущенным значениям величин.

Представляя входящие в (6), (7) величины в виде

$$v_x, \sigma, j_x = \text{Re} [\hat{v}_x, \hat{\sigma}, \hat{j}_x e^{i(\omega_s t - h_c z)}],$$

¹ Поле пространственного заряда имеет структуру TM -волны и в отличие от поля излучаемой сигнальной волны (2) является не собственным, а вынужденным решением уравнений Максвелла (величины ω и h_c не удовлетворяют дисперсионному уравнению для электромагнитных волн в вакууме).

приведем эти уравнения к форме

$$i(\omega_s - h_c v_{||0}) \hat{v}_z + v_{||0} \frac{\partial \hat{v}_z}{\partial z} = \frac{e^2}{2m^2 c^2 \gamma_0^4} i h_c \hat{A}_s \hat{A}_u + \frac{e E_z^b}{m \gamma_0^3}, \quad (8)$$

$$i(\omega_s - h_c v_{||0}) \hat{\sigma} + v_{||0} \frac{\partial \hat{\sigma}}{\partial z} - i h_c \sigma_0 \hat{v}_z + \sigma_0 \frac{\partial \hat{v}_z}{\partial z} = 0 \quad (9)$$

или после исключения \hat{v}_z имеем

$$\left[\omega_s - h_c v_{||0} - i v_{||0} \frac{\partial}{\partial z} \right]^2 \hat{\sigma} = \frac{e^2 h_c^2 \sigma_0 \hat{A}_u \hat{A}_s}{2m^2 c^2 \gamma_0^4} - \frac{i e h_c \sigma_0 E_z^b}{m \gamma_0^3}. \quad (10)$$

Эволюция амплитуды электромагнитной волны описывается уравнением параболического типа [1, 3, 5]

$$\frac{\partial^2 \hat{A}_s}{\partial x^2} - 2i h_s \frac{\partial \hat{A}_s}{\partial z} = -\frac{4\pi}{c} \hat{j}_y \delta(x), \quad (11)$$

где $\delta(x)$ — дельта функция Дирака,² \hat{j}_y — амплитуда поверхностной плотности поперечного тока на частоте сигнала.

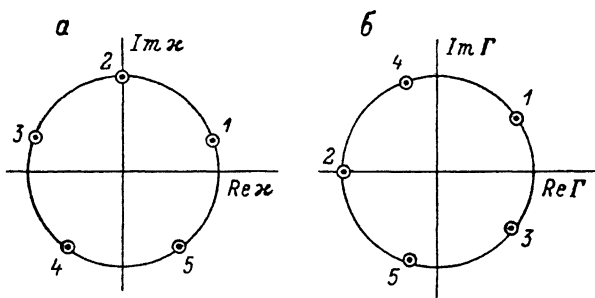


Рис. 2. Расположение на комплексной плоскости поперечных (а) и продольных (б) волновых чисел собственных волн в комptonовском режиме взаимодействия $q \ll 1$, $\Delta = 0$. Нарастающей локализованной является волна с $n=5$.

Комбинационная компонента этого тока выражается через амплитуду колебаний электронов в поле ондулятора (3) и амплитуду возмущений плотности заряда

$$\hat{j}_y = -\frac{e \hat{A}_u}{2m c \gamma_0} \hat{\sigma}. \quad (12)$$

За возбуждение поля пространственного заряда (5) ответственна продольная компонента высокочастотного тока $\hat{j}_z = \omega/h_c \hat{\sigma}$. На электронном пучке испытывает разрыв \hat{H}_y^b компонента магнитного поля

$$\{\hat{H}_y^b\}_{x=0} \equiv \hat{H}_y^b|_{x=+0} - \hat{H}_y^b|_{x=-0} = \frac{4\pi}{c} \hat{j}_z.$$

Принимая во внимание, что $\hat{H}_y^b = i \omega_s / g c \hat{E}_z^b \text{sign } x$, для амплитуды продольной компоненты электрического поля в плоскости пучка ($x=0$) имеем (ср. [16, 17])

$$\hat{E}_z^b = \frac{2\pi i g}{h_c} \hat{\sigma}, \quad (13)$$

где $g = \sqrt{h_c^2 - \omega_s^2/c^2} = \sqrt{h_y^2 + 2h_x \omega_s/c}$ — поперечное волновое число поля пространственного заряда (зависимость поля пространственного заряда от поперечной координаты имеет вид $e^{-g|x|}$, т. е. это поле экспоненциально спадает при удалении от пучка).

² Для исследования процессов в слое конечной толщины под $\delta(x)$ следует понимать функцию, описывающую поперечное распределение плотности пучка.

Объединяя уравнения (10)–(13), приходим к самосогласованной системе уравнений, описывающей взаимодействие электромагнитной волны с ленточным пучком электронов-осцилляторов

$$i \frac{\partial^2 a}{\partial X^2} + \frac{\partial a}{\partial Z} = 2i\sigma\delta(X), \quad (14)$$

$$\left(\frac{\partial}{\partial Z} + i\Delta\right)^2 \sigma + q^2 \sigma = -a, \quad (15)$$

где $Z = (\omega_s/c) zC$, $X = (\omega_s/c) x \sqrt{2C}$, $a = h_c^2 \bar{\omega}_{b\parallel}^2 \alpha_u / 8\pi\omega_s^2 \hat{A}_s C^{-2}$, $\alpha_u = e\hat{A}_u / mc^2 \gamma_0$, $\Delta = = (1/\beta_{\parallel 0} - \hbar c/\omega_s) C^{-1}$ — начальная расстройка синхронизма, $\beta_{\parallel} = v_{\parallel}/c$, $q^2 = = \bar{\omega}_{b\parallel}^2 g / 2\beta_{\parallel 0}^2 \omega_s^2 C^2$ — параметр пространственного заряда, $\bar{\omega}_{b\parallel} = \sqrt{4\pi e \sigma_0 / m \gamma_0^3}$ — продольная плазменная частота

$$C = \left(\frac{ch_c^2 \bar{\omega}_{b\parallel}^2 \alpha_u^2}{8 \sqrt{2} \omega_s^3 \beta_{\parallel 0}^2}\right)^{1/2} \quad (16)$$

— параметр усиления.

Собственные волны системы ленточный пучок—электромагнитное поле

Исследуем сначала собственные волны, распространяющиеся в системе, безграничной в продольном направлении, электронный пучок — электромагнитное поле. Представляя решение (14), (15) в виде $a = \bar{a} e^{i\Gamma Z}$, $\sigma = \bar{\sigma} e^{i\Gamma Z}$, приведем указанную систему к одному уравнению

$$\frac{d^3 \bar{a}}{dX^2} + \Gamma \bar{a} = \frac{2i\delta(X) \bar{a}}{(\Delta + \Gamma)^2 - q^2}. \quad (17)$$

Вне пучка ($X \neq 0$) решение (17) дается соотношением

$$\bar{a} = \bar{a}(0) e^{-i\kappa|X|}, \quad (18)$$

где $\kappa = \sqrt{\Gamma^2}$ — нормированное поперечное волновое число электромагнитной волны.

Сшивая эти решения на пучке с учетом вытекающего из (17) граничного условия

$$\left. \frac{d\bar{a}}{dX} \right|_{X=0} = \frac{\bar{a}(0)}{(\Delta + \Gamma)^2 - q^2}, \quad (19)$$

приходим к дисперсионному уравнению [15]

$$\sqrt{\Gamma} [(\Gamma + \Delta)^2 - q^2] = i \text{ или } \kappa [(\kappa^2 + \Delta)^2 - q^2] = i. \quad (20)$$

В режиме исчезающе малого влияния пространственного заряда ($g \ll 1$) решения дисперсионного уравнения (20) находятся в условиях точного начального синхронизма $\Delta = 0$

$$\kappa_n = e^{i(\pi/10 + 2\pi(n-1)/5)}, \quad (21)$$

$$\Gamma_n = e^{i(\pi/5 + 4\pi(n-1)/5)}, \quad (22)$$

где $n = 1-5$.

Согласно (21), (22), в рассматриваемом случае в системе существуют 5 нормальных волн (рис. 2), две из которых нарастают вдоль оси Z ($\text{Im } \Gamma_{3,5} < 0$), две затухают $\text{Im } \Gamma_{1,4} > 0$, а одна распространяется без изменения амплитуды $\text{Im } \Gamma_2 = 0$. Волны с номерами $n = 1-3$ нарастают при удалении от пучка $\text{Im } \kappa > 0$, а волны с номерами $n = 4, 5$ затухают $\text{Im } \kappa < 0$. Заметим, что для волн с номерами $n = 1, 5$ поток энергии (поперечная компонента вектора Пойнтинга) направлен от пучка к периферии $\text{Re } \kappa > 0$, а для волн с $n = 3, 4$ — в противоположном направлении $\text{Re } \kappa < 0$. Для волны с $n = 2$ указанный поток отсутствует $\text{Re } \kappa = 0$. Из двух нарастающих в продольном направлении волн следует особо выделить волну с $n = 5$, поскольку эта волна является локализованной вблизи поверхности пучка и переносящей энергию от пучка к периферии.

Рассмотрим теперь режим большого пространственного заряда $q \gg 1$, когда можно разделить взаимодействие электромагнитной волны с быстрой и медленной волнами пространственного заряда. Предполагая, что в синхронизме находится медленная волна пространственного заряда $\Delta = -q + \delta$, где $|\delta| \ll q$, приведем дисперсионное уравнение к виду

$$\sqrt{\Gamma} (\Gamma + \delta) = -i/2q \text{ или } x(x^2 + \delta) = -i/2q. \quad (23)$$

Решения (23) при $\delta = 0$ даются соотношениями

$$x_n = \frac{1}{(2q)^{1/3}} e^{i(-\pi/\sigma + 2\pi(n-1)/3)}, \quad (24)$$

$$\Gamma_n = \frac{1}{(2q)^{2/3}} e^{i(-\pi/3 + 4\pi(n-1)/3)}, \quad (25)$$

где $n=1-3$.

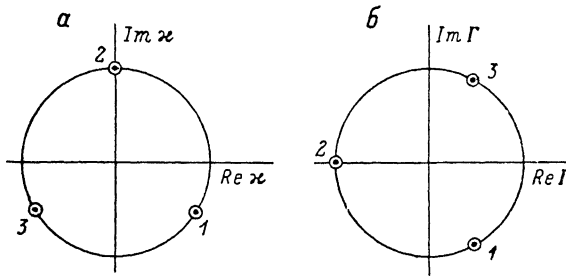


Рис. 3. Расположение на комплексной плоскости поперечных (а) и продольных (б) волновых чисел собственных волн в рамазовском режиме взаимодействия $q \gg 1$, $\Delta = -q$. Нарастающей локализованной является волна с $n=1$.

Расположение корней на комплексной плоскости показано на рис. 3. Очевидно, что в рассматриваемом режиме взаимодействия среди нормальных волн также существует волна ($n=1$), нарастающая в продольном направлении и спадающая в поперечном направлении. Заметим, что в случае синхронизма с быстрой волной пространственного заряда $\Delta = q$ подобные волны отсутствуют. Как будет показано в следующем разделе, из анализа граничной задачи усиление и канализация излучения оказываются возможными при наличии локализованной нарастающей нормальной волны, причем асимптотическое поведение поля при больших длинах пространства взаимодействия определяется возбуждением этой волны.

Дифракция плоской волны на слое электронов-осцилляторов

Рассмотрим с помощью системы уравнений (14), (15) полубезграничную задачу о дифракции плоской волны,³ падающей в сечении $Z=0$ на слой осциллирующих в поле ондулятора электронов. Предполагая, что начальная модуляция электронного пучка в указанном сечении отсутствует, представим граничные условия к уравнениям (14), (15) в виде

$$\sigma|_{z=0} = 0, \quad \frac{\partial \sigma}{\partial Z} \Big|_{z=0} = 0, \quad a|_{z=0} = a_0. \quad (26)$$

Будем искать решение уравнений (14), (15), (26), используя преобразование Лапласа по координате Z . Совершая прямое преобразование

$$a_p \equiv L(a) = \int_0^{\infty} a e^{-pZ} dZ, \quad \sigma_p = \int_0^{\infty} \sigma e^{-pZ} dZ, \quad (27), (28)$$

³ Эволюция произвольного возмущения поля рассмотрена в Приложении.

для образов функций получим систему уравнений

$$i \frac{d^2 a_p}{dX^2} + p a_p - a_0 = 2i\delta(X) \tau_p, \quad (29)$$

$$\sigma_p [(p + i\Delta)^2 + q^2] = -a_p. \quad (30)$$

С учетом граничного условия $\{da_p/dX\}|_{X=0} = \sigma_p$, аналогичного (19), решение системы уравнений (29), (30) для образа излучаемого поля может быть представлено в виде

$$a_p = \frac{a_0}{p} \left[1 + \frac{e^{-\sqrt{i}p|X|}}{\sqrt{i}p((p + i\Delta)^2 + q^2) - 1} \right]. \quad (31)$$

Рассмотрим сначала случай пренебрежимо малого влияния пространственного заряда $q \ll i$ и точного начального синхронизма $\Delta = 0$. Производя обратное преобразование Лапласа, для поля волны получим

$$a(Z, X) = L^{-1}(a_p) = \frac{a_0}{2\pi i} \int_{\Omega - i\infty}^{\Omega + i\infty} \left[\frac{1}{p} + \frac{e^{-\sqrt{i}p|X|}}{p(\sqrt{i}p^{3/2} - 1)} \right] e^{pZ} dp. \quad (32)$$

Используя разложение подынтегрального выражения на элементарные дроби, будем иметь

$$\frac{1}{\sqrt{i}p^{3/2} - 1} = \frac{1}{5\sqrt{i}} \sum_{n=1}^5 \frac{1}{p_n^4(\sqrt{p} - p_n)}, \quad (33)$$

где $p_n = \sqrt{i} x_n = e^{i(7\pi/20 + 2\pi(n-1)/5)}$.

Сведем интеграл (32) к сумме интегралов стандартного вида [18]. Вычисление интегралов дает

$$a(Z, X) = a_0 \left[\Phi \left(\frac{\sqrt{i}|X|}{2\sqrt{Z}} \right) + \frac{1}{5} \sum_{n=1}^5 e^{-ix_n|X| + i\Gamma_n Z} \left(1 - \Phi \left(\frac{\sqrt{i}|X|}{2\sqrt{Z}} - x_n \sqrt{iZ} \right) \right) \right], \quad (34)$$

где величины x_n и Γ_n определяются соотношениями (21), (22); $\Phi(u) = 2/\sqrt{\pi} \int_0^u e^{-t^2} dt$ — интеграл вероятности.

Основываясь на асимптотических представлениях интеграла вероятностей при больших значениях аргумента

$$\Phi(u) = 1 - \frac{1}{\sqrt{\pi}} \frac{e^{-u^2}}{u} \left(1 - \frac{1}{2u^2} + \frac{3}{4u^4} \right), \quad (35)$$

$$|u| \rightarrow \infty, \quad |\arg u| < 3\pi/4, \quad (36)$$

найдем приближенные выражения для излучаемого поля при $X \rightarrow \infty$ и $Z \rightarrow \infty$.

В случае $X \rightarrow \infty$ ($X \gg \sqrt{Z}$) имеем

$$a(Z, X) = a_0 \left[1 - 2\sqrt{\frac{i}{\pi}} \frac{Z^{1/2}}{X^3} e^{-iX^2/4Z} \right]. \quad (37)$$

Таким образом, на большом удалении от плоскости пучка поле можно представить в виде суммы начального поля a_0 и добавки, обусловленной влиянием электронного пучка, которая убывает по закону X^3 .

Рассмотрим теперь асимптотику больших длин пространства взаимодействия $Z \rightarrow \infty$ ($X \ll \sqrt{Z}$). В такой ситуации аргументы функции $\Phi(u)$ для членов ряда с номерами $n=1-4$ удовлетворяют условию (29). Для члена с $n=5$ это условие будет выполнено, если предварительно воспользоваться соотношением

$\Phi(u) = -\Phi(-u)$. В результате излучаемое поле в присоединенной области вдали от входного сечения может быть представлено в виде

$$a(Z, X) = a_0 \left[\sqrt{\frac{i}{\pi}} \left(\frac{|X|}{2\sqrt{Z}} + \frac{3}{4Z^{3/2}} \right) e^{-iX^2/4Z} + \frac{2}{5} e^{-ix_1|X|+i\Gamma_5 Z} \right] \approx \frac{2a_0}{5} e^{-ix_1|X|+i\Gamma_5 Z}. \quad (38)$$

Как и следовало ожидать, при достаточно больших длинах пространства взаимодействия излучаемое электронным пучком поле имеет структуру нарастающей, локализованной вблизи поверхности пучка собственной волны ($n=5$).

Аналогичный результат получается и в режиме взаимодействия электромагнитной волны с медленной волной пространственного заряда. Предполагая $q \gg 1$ и $\Delta = -q$, после пренебрежения взаимодействием с быстрой пучковой волной представим образ поля (31) в приближенном виде

$$a_p = \frac{a_0}{p} \left[1 - \frac{e^{-\sqrt{i}p|X|}}{1 + 2iqp\sqrt{i}p} \right]. \quad (39)$$

Совершая обратное преобразование, имеем

$$a(Z, X) = a_0 \left[\Phi \left(\frac{\sqrt{i}|X|}{2\sqrt{Z}} \right) - \frac{1}{3} \sum_{n=1}^3 e^{-ix_n|X|+i\Gamma_n Z} \left(1 - \Phi \left(\frac{\sqrt{i}|X|}{2\sqrt{Z}} - x_n \sqrt{iZ} \right) \right) \right], \quad (40)$$

где величины x_n и Γ_n определяются соотношениями (26), (27).

При $Z \rightarrow \infty$ из (39) получаем

$$a(Z, X) = -\frac{2a_0}{3} e^{-ix_1|X|+i\Gamma_5 Z}. \quad (41)$$

Сделаем оценку инкремента и масштаба поперечной локализации поля. Пусть погонная плотность тока пучка $I_0 = 1$ кА/см, энергия электронов $\mathcal{E}_0 = 2$ МэВ ($\gamma_0 = 5$), период ондулятора $d = 3$ см, отношение скорости осциллирующих электронов в поле ондулятора к скорости света $\alpha_u = 1/5$, длина волны излучения $\lambda = 0.12$ см. При таких значениях параметров $C = 0.85 \cdot 10^{-2}$, $q^2 = 0.5$ и в пренебрежении влиянием пространственного заряда $|\text{Im } \Gamma_5| = 0.42$ см $^{-1}$, $|\text{Im } x_5| = 3.9$ см $^{-1}$. Например, на расстоянии 1.5 см от пучка напряженность поля спадает (по отношению к напряженности на оси) в e^6 раз. Для транспортировки электронного пучка через пространство взаимодействия может быть необходимо наличие металлических плоскостей, компенсирующих пространственный заряд пучка. Очевидно, установка таких плоскостей на расстоянии r от пучка, превышающем 1.5 см, существенно не скажется на характере процесса излучения. Заметим также, что инкремент возбуждения электронным пучком с описанными выше параметрами собственной объемной моды образованного металлическими плоскостями полоскового волновода $\text{Im } \Gamma = \sqrt{3}/2 \omega_s/c (1/8\pi e I_0/mc^3 \lambda^2/r \alpha_u^2/\gamma_0^3)^{1/3} = 0.07$ см $^{-1}$ будет заметно ниже, чем инкремент возбуждения локализованной (квазиповерхностной) моды.

Рассмотрим в заключение вопрос о применимости полученных результатов к слою электронов конечной ширины b . Для волн в таком слое из уравнений (10), (11), представляя их решение в виде $e^{i\omega_s c k \Gamma' z}$, получим дисперсионное уравнение (ср. [19])

$$\text{tg } fB = ik'/f, \quad (42)$$

где $f = \sqrt{\Gamma' - c^2 h_c^2 \alpha_u^2 \omega_{b1}^2 / 8\omega_s^2 (\Delta + \Gamma')^2 \beta_{10}^2}$, $k' = \sqrt{\Gamma'}$ — поперечные волновые числа внутри и вне слоя; $B = \omega_s/c b \sqrt{2}$; $\omega_{b1}^2 = \bar{\omega}_{b1}^2/b$.

Из (42) следует дисперсионное уравнение для тонкого слоя (20) при выполнении условия $|fB| \approx |k'/f| \ll 1$. Это условие с учетом соотношений (16), (22) можно представить в виде

$$B \ll \left(\frac{\omega_{b1}^2 \beta_{10}^2}{\omega_{b1} \alpha_u h_c c} \right)^{1/3} \quad \text{или} \quad \frac{b^2}{L\lambda} \ll 1, \quad (43)$$

где $L \sim \frac{c}{\omega_s} |\text{Im } \Gamma'|^{-1}$ — характерная длина области усиления.

Для рассмотренного выше примера $L \sim 2.5$ см и $b \ll 0.5$ см.

Авторы признательны Н. А. Завольскому, Н. Ф. Ковалеву и М. И. Петелину за полезные обсуждения.

Приложение

На основе системы уравнений (14), (15) рассмотрим дифракцию на электронном пучке произвольного начального распределения поля $a_0(X)$. Первоначально получим интегральное представление решения неоднородного параболического уравнения (14). С этой целью произведем преобразование Фурье по поперечной координате X

$$a_x = \mathcal{F}(a) = \frac{1}{\sqrt{2\pi}} \int_{-\infty}^{\infty} e^{-ixX} a(X, Z) dX,$$

$$a(X, Z) = \mathcal{F}^{-1}(a_x) = \frac{1}{\sqrt{2\pi}} \int_{-\infty}^{\infty} e^{ixX} a_x dx. \quad (\text{П. 1})$$

Для образа Фурье из исходного уравнения (14) имеем

$$-ix^2 a_x + \frac{da_x}{dZ} = i \sqrt{\frac{2}{\pi}} \sigma \quad (\text{П. 2})$$

или

$$a_x = a_{0x} e^{ix^2 Z} + i \sqrt{\frac{2}{\pi}} \int_0^Z e^{ix^2(Z-Z')} \sigma(Z') dZ'. \quad (\text{П. 3})$$

Совершая обратное преобразование Фурье, используя теорему о свертке и соотношение

$$\mathcal{F}^{-1}(e^{ix^2 Z}) = \frac{1+i}{2\sqrt{Z}} e^{-iX^2/4Z},$$

получим

$$a(Z, X) = \frac{\sqrt{i}}{2\sqrt{\pi Z}} \int_{-\infty}^{\infty} a_0(X-Y) e^{-iY^2/4Z} dY - \frac{1}{\sqrt{\pi i}} \int_0^Z \frac{\sigma(Z') e^{\frac{-iX^2}{4(Z-Z')}}}{\sqrt{Z-Z'}} dZ'. \quad (\text{П. 4})$$

Находя из (П. 4) значение поля в плоскости пучка ($X=0$) и подставляя его в уравнение для возмущений плотности пучка (15), приходим к интегрально-дифференциальному уравнению

$$\frac{\partial^2 \sigma}{\partial Z^2} = -\frac{\sqrt{i}}{2\sqrt{\pi Z}} \int_{-\infty}^{\infty} a_0(-Y) e^{-iY^2/4Z} dY + \frac{1}{\sqrt{\pi i}} \int_0^Z \frac{\sigma(Z')}{\sqrt{Z-Z'}} dZ'. \quad (\text{П. 5})$$

Решение (П. 5) может быть найдено с помощью преобразования Лапласа по координате Z . Используя теорему о свертке и соотношение

$$L\left(\frac{e^{-iY^2/4Z}}{\sqrt{Z}}\right) = \sqrt{\pi/p} e^{-\sqrt{i}pY},$$

из (П. 5) получим

$$p^2 \sigma_p = -\frac{\sqrt{i}}{2} \int_{-\infty}^{\infty} a_0(-Y) \frac{e^{-\sqrt{i}p|Y|} dY}{\sqrt{p}} + \frac{\sigma_p}{\sqrt{i}p} \quad (\text{П. 6})$$

или

$$\sigma_p = -\frac{i}{2} \frac{\int_{-\infty}^{\infty} a_0(-Y) e^{-\sqrt{i}p|Y|} dY}{\sqrt{i} p^{3/2} - 1}. \quad (\text{П. 7})$$

Соответственно для образа Лапласа поля из (П. 4) с учетом (П. 7) имеем

$$a_p = \frac{\sqrt{i}}{2\sqrt{p}} \int_{-\infty}^{\infty} a_0(X-Y) e^{-\sqrt{i}p|Y|} dY + \frac{\sqrt{i}}{2\sqrt{p}(\sqrt{i}p^{3/2}-1)} \int_{-\infty}^{\infty} a_0(-Y) e^{-\sqrt{i}p(|X|+|Y|)} dY.$$

Производя обратное преобразование Лапласа, используя при этом разложение (33), получим

$$a(Z, X) = \frac{\sqrt{i}}{2\sqrt{\pi Z}} \int_{-\infty}^{\infty} a_0(X-Y) e^{-iY^2/z} dY + \\ + \frac{i}{10} \sum_{n=1}^5 \int_{-\infty}^{\infty} x_n a_0(-Y) e^{-ix_n(|X|+|Y|)+i\Gamma_n Z} \operatorname{erfc}\left(\frac{\sqrt{i}}{2\sqrt{Z}}(|X|+|Y|) - x_n \sqrt{iZ}\right) dY, \quad (\text{П. 8})$$

где $\operatorname{erfc} u = 1 - \Phi(u)$.

Как нетрудно видеть, при $a_0 = \text{const}$ выражение (П. 8) переходит в (34).

Литература

- [1] Ковалев Н. Ф., Петелин М. И. // Релятивистская высокочастотная электроника. Горький, 1981. Вып. 2. С. 63—100.
- [2] Кондратенко А. М., Салдин Е. Л. // ЖТФ. 1981. Т. 51. Вып. 8. С. 1633—1642.
- [3] Tang C. M., Sprangle P. // Phys. Quant. Electron. 1982. Vol. 9. P. 627—651.
- [4] Prosnits D., Haass R. A., Doss S., Gelinis R. // Phys. Quant. Electron. 1982. Vol. 9. P. 1047—1069.
- [5] Ginzburg N. S. // Opt. Commun. 1982. Vol. 43. N 3. P. 203—206.
- [6] Ginzburg N. S., Kovalev N. F., Rusov N. Yu. // Opt. Commun. 1983. Vol. 46. N 5, 6. P. 300—304.
- [7] Канавец В. И., Корженевский А. В., Черепенин В. А. // ЖТФ. 1984. Т. 54. Вып. 3. С. 541—550.
- [8] Канавец В. И., Корженевский А. В., Черепенин В. А. // РИЭ. 1985. Т. 30. № 11. С. 2202—2211.
- [9] Scharlemann E. T., Sessler A. M., Wurtele J. S. // Phys. Rev. Lett. 1985. Vol. 54. N 17. P. 1925—1929.
- [10] Moore G. T. // Nucl. Instr. and Meth. Phys. Res. 1986. N 250. P. 381—388.
- [11] La Sala J. E., Deacon D. A. G., Scharlemann E. T. // Nucl. Instr. and Meth. Phys. Res. Vol. 54. N 17. P. 389—395.
- [12] Amir A., Greenzwey Y. // Nucl. Instr. and Meth. Phys. Res. Vol. 54. N 17, P. 404—412.
- [13] Luchine P., Solimeno Y. // Nucl. Instr. and Meth. Phys. Res. Vol. 54. N 17. P. 413—417.
- [14] McVey B. D. // Nucl. Instr. and Meth. Phys. Res. Vol. 54. N 17. P. 449—455.
- [15] Гинзбург Н. С., Ковалев Н. Ф. // Письма в ЖТФ. 1987. Т. 13. Вып. 5. С. 234—238.
- [16] Ковалев Н. Ф. и др. // Релятивистская высокочастотная электроника. Горький, 1979. Вып. 1. С. 76—113.
- [17] Гинзбург Н. С., Новожилова Ю. В. // ЖТФ. 1983. Т. 53. Вып. 9. С. 1681—1689.
- [18] Бейтмен Г., Эрдейи А. Таблицы интегральных преобразований. М.: Наука. 1969. Т. 1. 344 с.
- [19] Вайнштейн Л. А. Электромагнитные волны. М.: Сов. радио, 1957. 581 с.

Институт прикладной физики
АН СССР
Горький

Поступило в Редакцию
17 февраля 1988 г.